

## 原著論文

伊豆諸島御蔵島と伊豆大島から確認された日本初記録のアカマユトラギス  
(新称) *Parapercis rubromaculata* (ワニギス亜目トラギス科)First Japanese Records of *Parapercis rubromaculata* (Trachinoidei:  
Pinguipedidae) from Mikura-jima and Izu-oshima Islands, Izu Islands, Japan和田英敏<sup>1)</sup>・棟方航平<sup>2)</sup>・西川士朗<sup>3)</sup>Hidetoshi WADA<sup>1)</sup>, Kohei MUNAKATA<sup>2)</sup> & Shiro NISHIKAWA<sup>3)</sup>

**Abstract.** During an ichthyofaunal survey of Mikura-jima Island, Izu Islands (Japan), a single specimen (111.9 mm standard length: SL) of the genus *Parapercis* (Trachinoidei: Pinguipedidae) was collected from a drop off at 70–100 m depth, off northeastern Mikura-jima Island by line-fishing. The specimen was subsequently identified as *Parapercis rubromaculata* Ho, Chang & Shao, 2012, having the following combination of characters: dorsal-fin rays V, 21, fourth dorsal-fin spine longest in dorsal-fin spines; anal-fin rays I, 17; pectoral-fin rays 17; pored lateral-line scales 53; gill rakers 5 + 10 = 15; 6 canine teeth in outer row at front of lower jaw; vomer with single row of 7 robust conical teeth; palatines edentate; 10 abdominal and 20 caudal vertebrae; predorsal scales 8, cycloid, reaching vertical above of posterior margin of preopercle; scales on cheek cycloid, reaching vertical below of anterior margin of pupil; posterior margin of subopercle smooth; posterior tip of depressed pelvic fin reaching to second anal-fin soft ray base; 5 broad red wedge-shaped saddles across sides, a pair of small vivid red patches overlying on middle of each saddles; longitudinal series of large irregular yellowish-orange blotches on lower sides from pectoral-fin base to caudal peduncle; dorsal-fin soft-rayed portion with longitudinal row of red spots including 7 of large blackish-red spots and 11 small bright red spots; and caudal fin with relatively large red blotches on base, followed by smaller red blotches and scattered smaller red spots around center and rear of fin. Moreover, four individuals of *P. rubromaculata* were documented from Izu-oshima Island, Izu Islands by underwater photographs. This species has been previously recorded only from Taiwan and Western Australia. Thus, the present specimen and the underwater photographs from the Izu Islands represent the first Japanese record and northernmost record for the species. The new standard Japanese name “Akamayutoragisu” is proposed for the species, based on the present specimen from Mikura-jima Island.

**Key words:** description, distribution, *Parapercis basimaculata*, *Parapercis randalli*, Sagami Bay

## 緒言

ワニギス亜目トラギス科トラギス属 (Trachinoidei: Pinguipedidae: *Parapercis* Bleeker, 1863) は東大西洋を除く三大洋の温帯–熱帯域

から93有効種が知られる、トラギス科において最も多様性に富む分類群であり (Fricke *et al.*, 2025)、多くは底生性で、砂泥底や礫底あるいはサンゴ礁周辺などに棲息する (Randall, 2001; Randall *et al.*, 2008)。日本においては、これまで

<sup>1)</sup> 神奈川県立生命の星・地球博物館  
〒250-0031 神奈川県小田原市入生田 499  
Kanagawa Prefectural Museum of Natural History,  
499 Iryuda, Odawara, Kanagawa 250-0031, Japan  
wada.kpm-ni@nh.kanagawa-museum.jp

<sup>2)</sup> 神奈川県立生命の星・地球博物館 ボランティア  
〒250-0031 神奈川県小田原市入生田 499

Volunteer of Kanagawa Prefectural Museum of Natural  
History, 499 Iryuda, Odawara, Kanagawa 250-0031,  
Japan

<sup>3)</sup> 西川商店  
〒100-1301 東京都御蔵島村  
Nishikawa-shoten, Mikura-jima, Tokyo, 100-1301, Japan

に 29 種が知られており (栗山・本村, 2025; 本村, 2025)、特に黒潮流域にあたる太平洋岸の温帯—亜熱帯域に多くの種が分布しており、黒潮の上流にあたる台湾にも共通して分布する種も多い (島田, 2013; Ho et al., 2014; 日比野ほか, 2013; 松尾ほか, 2018; 栗山・本村, 2025)。

著者らは日本産魚類の多様性解明の一環で黒潮流路の東部に位置する伊豆諸島御蔵島の魚類相調査を 2022 年から継続しているが (和田ほか, 2025)、2025 年 8 月 27 日に御蔵島北東部から 1 個体のトラギス属魚類が採集された。この標本を精査したところ、計数・計測形質、および色彩などの特徴から *Parapercis rubromaculata* Ho, Chang & Shao, 2012 に同定された。本種はこれまでにオーストラリアと台湾からのみ記録されているため (Ho et al., 2012; Johnson & Wilmer, 2018)、本研究では日本初記録となる御蔵島産の標本を詳細に記載し報告するとともに、この標本に基づいて本種に対する新標準和名を提唱する。また御蔵島と同じく伊豆諸島に属し、相模湾南部にあたる伊豆大島においても 4 個体の *P. rubromaculata* の水中写真が得られたため、上述の標本と併せて本種の日本における分布状況を考察した。

## 材料と方法

記載は御蔵島から得られた 1 標本 (KPM-NI 92010、標準体長 111.9 mm) に基づく。標本の計測・計数は Randall (2003)、Ho et al. (2012)、Allen & Erdmann (2017)、および Johnson & Wilmer (2018) にしたがった。体各部の計測はデジタルノギスを用いて 0.1 mm 単位までおこない、計測値は標準体長に対する百分率で示した。標準体長は体長または SL と表記した。内部骨格の観察には軟 X 線写真を用いた。生鮮時の色彩は固定前に撮影されたカラー写真 (Fig. 1) に基づき記載した。色の名称は財団法人日本色彩研究所 (1993) の系統色名を用いた。標本の作製、登録、撮影、および固定方法は本村 (2009) に準拠した。本報告に用いた標本および写真は、神奈川県立生命の星・地球博物館に魚類標本コレクション (KPM-NI) および魚類写真資料コレクション (KPM-NR) として保管されている。ただし、同館の資料番号はコンピュータ上では利便性からゼロを含む 7 桁の数字が使われているが、ここでは資料番号として本質的な有効数字で表記した。神奈川県立生命の星・地球博物館以外の研究機関略号およびコレクションコードは Sabaj (2020) にしたがった。水温は観察個体が発見された水深帯においてダイビ

ングコンピューターを用いて計測されたものか、気象庁 (2025) の水深帯別の旬平均表層水温を用いた。

## 結果

*Parapercis rubromaculata* Ho, Chang & Shao, 2012

アカマユトラギス (新称)

(Figs. 1–4; Table 1)

### 標本

KPM-NI 92010、体長 111.9 mm、伊豆諸島御蔵島北東沖、水深 70–100 m の岩礁が混在する砂底域のカケアガリ (斜面)、水温 16 °C、釣り、2025 年 8 月 26 日、和田英敏・西川士朗採集、鮮時の標本写真は KPM-NR 300247 として登録 (和田英敏撮影)。

### 写真資料

いずれも伊豆諸島伊豆大島北部・秋の浜 (相模湾南部) にて撮影: KPM-NR 60891、水深 32 m、水温 15 °C、2021 年 2 月、有馬啓人撮影; KPM-NR 150280、水深 30 m、水温 18 °C、2013 年 3 月 24 日、石田充彦撮影; KPM-NR 150320、水深 35 m、水温 16 °C、2013 年 3 月 3 日、伊藤明美撮影; KPM-NR 265009、水深 29 m、水温 18 °C、2013 年 4 月 10 日、今関真二郎撮影。

### 記載

計数値と体各部の体長に対する割合 (%) を Table 1 に示す。

体は前後に長い円筒形で、後方部においてはやや側扁する。頭部は短い円錐形で、頭部腹面は平たい。眼は前後方向に長い楕円形でやや大きく、頭部側面の上方に位置する。両眼間隔は平坦で狭い。鼻孔は 2 対で、いずれも眼の前方に位置する。前鼻孔は短いチューブ状で後縁は尖り、後鼻孔はごく短いチューブ状で周縁は平滑。吻は尖り、下顎先端は上顎先端より僅かに突出する。口裂は大きく、体軸に対しておよそ 30° 上向く。両唇はやや厚い。主上顎骨後端は眼の中央直下より僅かに前方に達する。上顎歯の外縁には前部から後部にかけて細く短くなる 1 列の円錐歯列が並び、その内側には小さな円錐歯からなる歯帯がある。下顎前方に 3 対の犬歯状歯がある (ただし、右体側の前方から 3 番目の犬歯には付属的な 2 本の犬歯状歯がある)。下顎の犬歯状歯の内側と後方には小さな円錐歯からなる歯帯がある。鋤骨歯は頑強で、7 本の円錐歯が円弧状に並ぶ。口蓋骨に歯を欠く。舌は幅広く、基舌骨上を除く舌の表

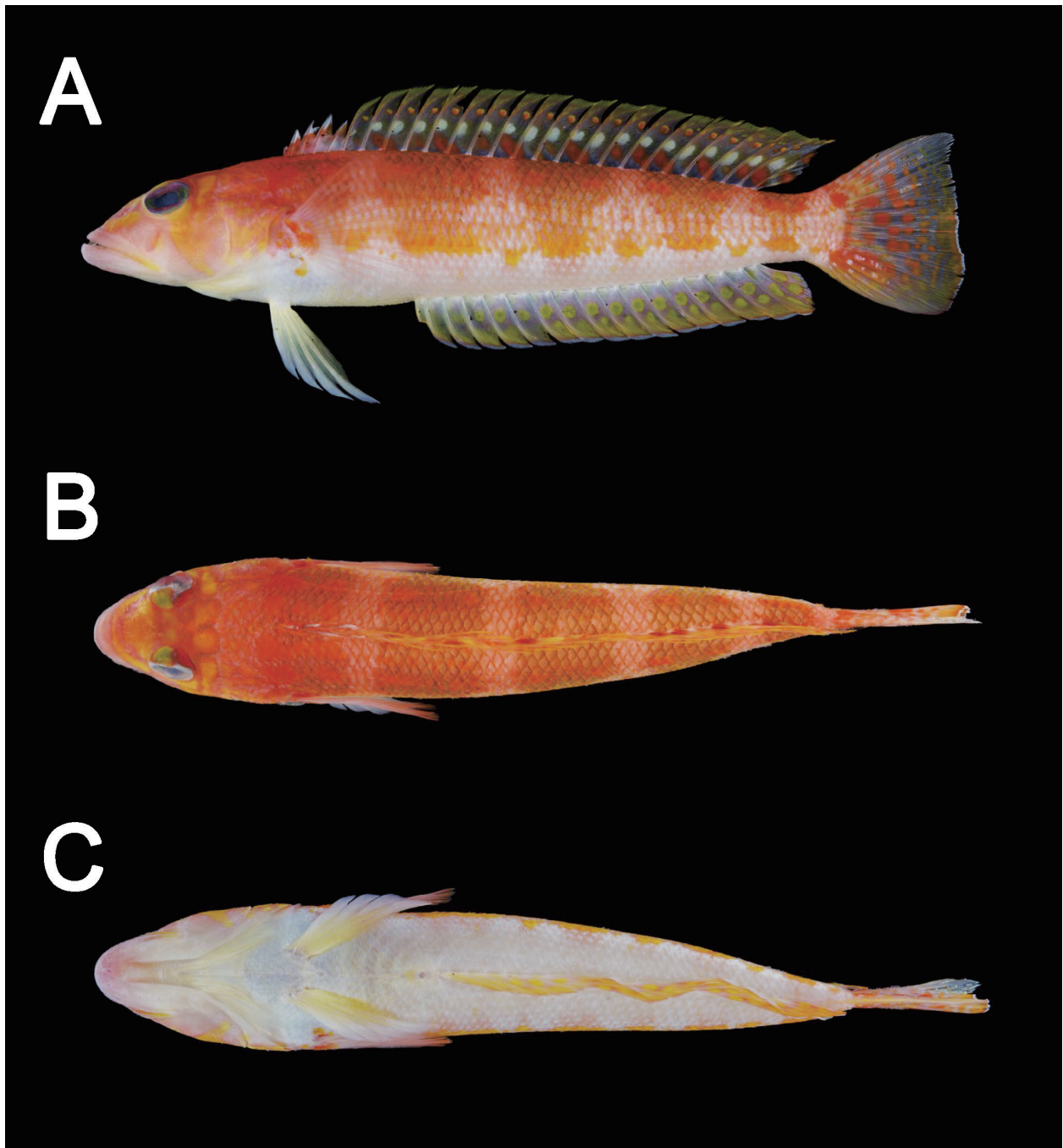


Fig. 1. Fresh specimen of *Parapercis rubromaculata* from Mikura-jima I., Izu Is., Japan (KPM-NI 92010, 111.9 mm SL). (A) Lateral, (B) dorsal, and (C) ventral views. Photo by H. Wada.

面は多数の繊毛状の突起で覆われる。舌の前縁は円みを帯び、鋤骨歯帯の前端直下に位置する。主鰓蓋骨の後縁には1本後方を向く強い棘がある。前鰓蓋骨の後縁には左体側で9本、右体側で5本のごく弱い鋸歯があり、下鰓蓋骨と間鰓蓋骨の後縁は円滑。鰓蓋上端は主鰓蓋骨の棘よりやや前方に位置する。鰓蓋開口部は鰓蓋上端から緩やかに弧をえがきながら下降し、前鰓蓋骨直下の峽部へ達する。峽部で左右の鰓膜は癒合する。第1鰓弓の鰓耙は小さく、各鰓耙の上縁は鋸歯状。擬鰓の鰓弁は17本。眼下骨下縁には3対の感覚孔が並ぶ。下顎の腹側には、外縁に4対、前方中央に1個の感覚孔がある。前鰓蓋骨の後縁には7個の

感覚孔が並ぶ。体はほぼ全域が櫛鱗に覆われるが、頭部背面、頬部、主鰓蓋骨上、腹鰭基底より前方の腹部、背鰭第3棘より前方の項部、および胸鰭基底は円鱗に覆われる。唇、吻、および頭部背腹側は被鱗しない。背鰭前方鱗の前端は前鰓蓋骨後縁のほぼ直上に位置する。頬の鱗域の前端は瞳孔前縁のほぼ直下に達する。側線は鰓蓋上端を起点に背鰭第2棘基部直下まで上向した後、背鰭第3軟条基部直下まで背縁と並走し、その後緩やかに下降する。背鰭第19軟条基部直下で側線と体軸は交わり、以降は体軸を直走する。肛門は背鰭第4軟条基部直下に位置する。背鰭始部は胸鰭基底のほぼ直上に位置する。背鰭棘は概ね後方へ

Table 1. Counts and measurements of *Parapercis rubromaculata*. Modes and means in parentheses.

	This study		Ho <i>et al.</i> (2012)		Johnson & Wilmer (2018)
	Japan		Taiwan		Australia
	Non-type KPM-NI 92010	Holotype NMMB-P 12635	Type series* n = 4		Non types n = 16
Standard length (SL; mm)	111.9	97.2	78.1–114.0		43.9–80.1
Counts					
Dorsal-fin rays	V, 21	V, 21	V, 21		V, 20–21
Anal-fin rays	I, 17	I, 17	I, 17		I, 17
Pectoral-fin rays	17/17	17/17	17		16–18
Gill rakers on first gill arch	5 + 10 = 15	4 + 9 = 13	13–14 (14)**		4–6 + 8–11 = 12–16
Lateral-line scales	53	53	52–53 (53)		51–53
Predorsal scales	8	8	8		8–9
Lower jaw canine teeth (outer row)	3+3***	3 + 3	3 + 3		3 + 3
Vertebrae (abdominal + caudal)	10 + 20	10 + 19	10 + 19****		10 + 20
Measurements (% SL)					
Body depth	17.7	17.2	13.2–19.8 (17.0)		15.5–17.2
Body width	17.7	19.3	14.2–20.7 (18.6)		18.4–20.3
Head length	29.1	31.8	24.9–33.2 (30.8)		29.5–32.4
Snout length	9.4	11.5	7.7–11.2 (10.0)		7.0–9.3
Orbit diameter	7.6	8.3	7.1–10.7 (9.0)		8.6–10.0
Interorbital width	4.6	4.4	3.1–4.3 (3.9)		3.1–4.4
Preorbital depth	4.1	-	-		3.5–4.5
Upper jaw length	12.8	12.7	9.8–14.5 (12.3)		11.9–13.9
Predorsal length	28.3	31.8	24.4–34.4 (30.8)		29.7–32.4
Preanal length	44.7	42.1	40.0–51.9 (46.0)		47.4–51.2
Prepelvic length	26.2	27.0	22.2–29.3 (26.5)		26.4–28.9
Caudal-peduncle depth	8.8	8.7	6.8–10.0 (8.7)		8.6–9.5
Caudal-peduncle length	8.8	9.0	7.2–12.0 (9.7)		8.4–9.0
Dorsal-fin base length	64.7	62.0	46.8–73.1 (61.8)		58.7–61.5
1st dorsal-fin spine length	2.3	2.6	2.0–2.5 (2.6)		3.3–4.3
2nd dorsal-fin spine length	4.6	4.4	3.6–5.5 (4.6)		4.6–6.0
3rd dorsal-fin spine length	6.3	6.2	5.2–7.4 (6.3)		7.4–8.2
4th dorsal-fin spine length	6.9	6.6	6.2–7.7 (7.1)		8.2–9.0
5th dorsal-fin spine length	6.8	5.5	4.8–6.5 (5.9)		6.0–6.9
Longest dorsal-fin soft ray length	15.7	14.1	10.2–17.3 (13.5)		13.1–15.1
Anal-fin base length	46.9	42.6	33.5–51.3 (43.8)		41.4–45.3
Anal-fin spine length	3.9	5.9	4.6–7.0 (5.2)		5.5–7.6
Longest anal-fin soft ray length	12.1	13.3	10.1–14.2 (12.9)		11.7–13.2
Caudal-fin length	19.3	20.5	16.3–23.0 (21.2)		18.9–21.0
Pectoral-fin length	19.9	20.9	20.6–22.0 (20.4)*****		20.2–23.1
Pelvic-fin spine length	4.9	5.9	5.0–6.8 (6.2)		-
Pelvic-fin length	19.8	23.1	23.5–25.0 (23.2)		20.6–26.4

\* Including holotype and three paratypes; \*\* total gill rakers; \*\*\* except accessory canine associated with third lower canine tooth on right side; \*\*\*\* Johnson and Wilmer (2018) presented it as 10 + 20, based on one of the paratypes (QM I.38836); \*\*\*\*\* the mean of this character probably mistaken

向かうほど徐々に長くなり、第4棘が最長で、第5棘は第4棘より僅かに短い。背鰭棘条部と軟条部の間には欠刻があるが、鰭膜によって完全に繋がる。背鰭軟条はいずれも分枝し、最後軟条は基底から二又する。臀鰭始部は肛門の直後に位置する。臀鰭棘は細くしなやか。背鰭と同様、軟条はいずれも分枝し、最後鰭条は基底で二又する。尾鰭は概ね截形で、上葉の後端は僅かに尖り、後縁と下葉は円みを帯びる。胸鰭基底は主鰓蓋骨後端の直後に位置する。胸鰭の輪郭はほぼ円形で、胸

鰭後端は臀鰭第2軟条の直上に達する。胸鰭の鰭条はいずれも軟条で、上端の1軟条を除き分枝する。腹鰭起部は主鰓蓋骨後端よりやや前方に位置する。腹鰭は大きく、その概形は腹鰭基底後端と最長軟条(第4軟条)先端を結んだ線を底辺とした二等辺三角形。腹鰭軟条は全て分枝する。畳んだ腹鰭後端は臀鰭第2軟条基底に達する。

生鮮時の色彩 (Fig. 1) 一頭部背面の地色はさえた赤。吻背面前部には赤みの黄の逆U字型斑があり、その後端は眼の前縁に僅かに達しない。



Fig. 2. Preserved specimen of *Parapercis rubromaculata* from Mikura-jima I., Izu Is., Japan (KPM-NI 92010, 111.9 mm SL). (A) Lateral and (B) dorsal views. Photo by H. Wada.

後頭部に1対の隣接した赤の縁取りがある赤みの黄の円形斑がある。眼の上端には1対のさえた緑みの黄の円形斑があり、その後方はさえた赤の短い棒状の斑がある。虹彩の地色はさえた緑みの黄で、上下辺にさえた紫みの赤の縦帯がある。頭部側面および腹面の地色はうすいピンクで、眼の前下方にはピンクの横方向に長い楕円形斑があり、頬部には眼後下縁から前鰓蓋骨隅角部かけて走るさえた赤みの黄の斜帯がある。後頭部から頬部中央にかけて、やや不明瞭なさえた黄の横帯が走る。主鰓蓋骨側面にはさえた黄の不定形斑がある。口角と鰓膜の癒合部は僅かに黄色がかかる。頭部を除いた体(躯幹部および尾部)の地色は白で、項部はさえた赤。胸鰭基底前方にはさえた黄みの赤の不定形斑がある。背鰭棘条部下方から尾柄にかけて5個の背面から側面中央付近にかけて延びる広くて輪郭が不明瞭な黄みの赤の楔形の鞍状斑があり、各鞍状斑中には黒色素胞が散在し、各鞍状斑の中央よりやや上方に1対のさえた赤の小斑点が体軸と平行に並ぶ。胸鰭基底後方から尾鰭基底下端にかけて輪郭が不明瞭なつよい黄みのオレンジの円形斑と棒状斑がランダムに縦方向に並ぶ。背鰭棘条部の地色はさえた赤で、第2-4棘の先端および第4-5棘の下半部は白。背鰭軟条部の地色はやや黄色がかかった白色半透明で、遠縁部は明るい黄で縁取られ、そのすぐ下方の各

軟条間の鰭膜には小さなつよい赤みの黄の円形斑が体背縁に並行にならぶ。背鰭各軟条間の鰭膜の中央には前述の円形斑のおよそ2倍の大きさのうすい黄の円形斑が体背縁に並行にならび、その直下(背鰭基底から4分の1の高さ)には18個の輪郭が不明瞭なさえた黄みの赤の円形斑が体背縁対して概ね並行にならび、この赤色斑のうち比較的大きな7個には黒色素胞が混在する。臀鰭の地色はややピンクがかかった白で、遠縁部には幅広い明るい黄の縁取りがある。臀鰭軟条間の鰭膜の中央部には第1-8軟条間においては1個、第8-17軟条間においては2個の明るい黄の円形斑があり、体腹縁に並行な縦列としてならぶ。尾鰭の地色はややピンクがかかった白色半透明で、尾鰭基底上端に大きなさえた赤の円形斑があり、尾鰭中央部と後部には小さなさえた赤の不定形斑が散在する。尾鰭周縁部には不明瞭なあさい黄の不定形斑があり、下葉前部には白色斑が散在し、後縁にはごく狭い白の縁取りがある。胸鰭はやや赤みがかかった半透明。腹鰭の地色は黄みの白で、中央付近において黄色みがつよくなる。

固定後の色彩(Fig. 2) 一体各部の地色は黄みの白で、黄および赤を基調とする色彩は消失する。頭部背面の1対の円形斑はその外縁のみが黒色素胞からなるリング状斑として残る。体側面の鞍状斑は黒色素胞からなる斑に置き換わるが、

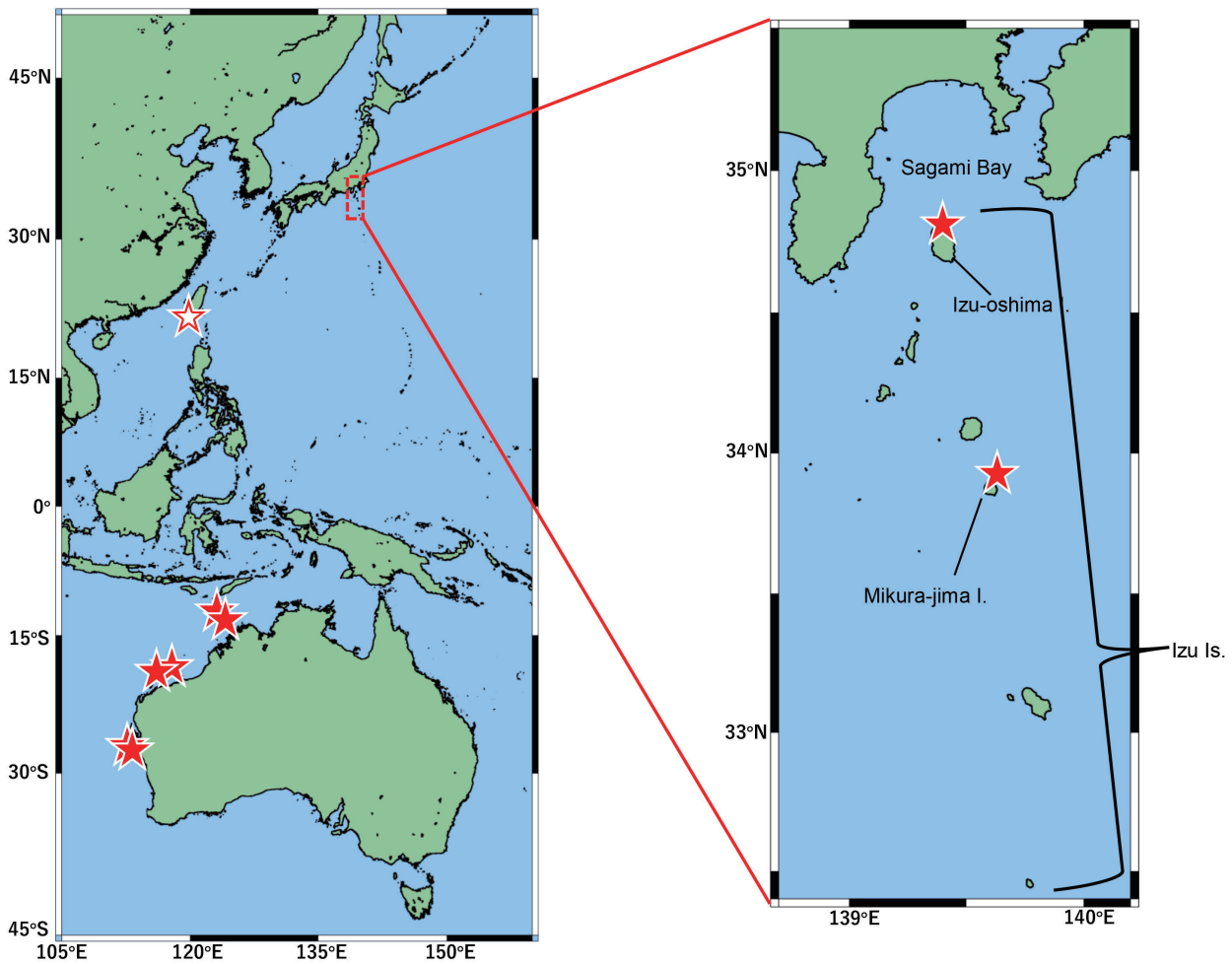


Fig. 3. Distributional records of *Parapercis rubromaculata*. Open and closed symbols indicate type locality and other localities, respectively.

1 対の赤色斑があった箇所は黒色素胞の分布がごく薄い。各背鰭棘の前面には黒色素胞が密集する。背鰭軟条部下部の大きな赤色斑は密集した黒色素胞からなる斑に置き換わる。尾鰭の赤色小斑は黒色素胞からなるしみ状斑に置き換わる。

#### 同定

本研究で記載した御蔵島産の 1 標本は、背鰭が 5 棘 21 軟条で棘のうち第 4 棘が最長、臀鰭が 1 棘 17 軟条、胸鰭が 17 軟条、側線有孔鱗数が 53、鰓耙数が 5 + 10、背鰭前方鱗数が 8、下顎歯前部の外列に 3 対の犬歯がある、鋤骨に 7 本の円錐歯が一行に並ぶ、口蓋骨に歯がない、脊椎骨数が 10 + 20、擬鰓の鰓弁は 17 本、前鰓蓋骨後縁にごく弱い鋸歯がある、下鰓蓋骨の後縁が円滑、頭部背面、頬部、腹鰭基底より前方の腹部、背鰭第 3 棘より前方の項部、および胸鰭基底が円鱗に覆われる、背鰭前方鱗前端が前鰓蓋骨後縁の直上に達する、頬部鱗域の前端は瞳孔前縁のほぼ直下に達する、尾鰭が概ね截形で、上葉の先端は尖り、下葉の輪郭は丸みをおびる、畳んだ腹鰭後端が臀鰭第 2 軟条基底に達する、虹彩の地色がさえた

緑みの黄で、上下辺にさえた紫みの赤の縦帯がある、頬部には眼後下縁から前鰓蓋骨隅角部かけて走るさえた赤みの黄の斜帯がある、背鰭棘条部下方から尾柄にかけて 5 個の赤色の鞍状斑があり、各鞍状斑の中央よりやや上方に 1 対のさえた赤の小斑点が体軸と平行に並ぶ、胸鰭基底後方から尾鰭基底下端にかけて縦方向に走る黄色の不規則な斑列がある、背鰭各軟条間の鰭膜の中央にはうすい黄の円形斑が体背縁に並行にならび、その直下にはさえた黄みの赤の円形斑が並び、この赤色斑のうち比較的大きな 7 個には黒色素胞が混在する、臀鰭の地色がややピンクがかかった白で、遠縁部には幅広い明るい黄の縁取りがある、尾鰭基底上端に大きくなさえた赤の円形斑があり、尾鰭中央部と後部には小さなさえた赤の不定形斑が散在することなどの形態的特徴が、Ho et al. (2012) および Johnson & Wilmer (2018) が報告した *P. rubromaculata* の特徴によく一致したため、本種に同定された。また、伊豆大島で撮影された 4 個体も、虹彩の地色がさえた緑みの黄で、上下辺にさえた紫みの赤の縦帯がある（ただし下辺の縦帯は不明瞭）、頬部には眼後下縁から前鰓蓋骨

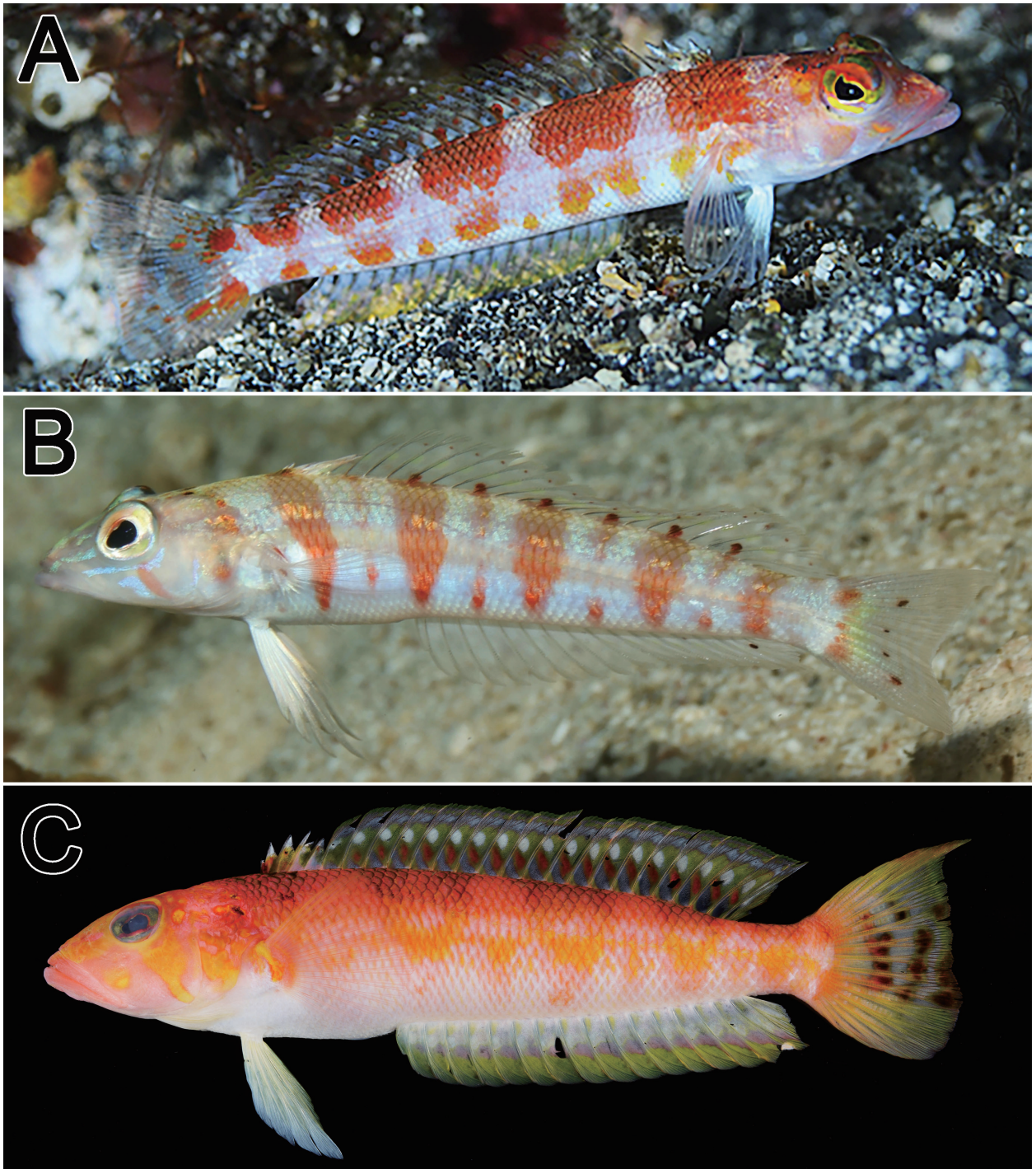


Fig. 4. Photographs of (A) *Parapercis rubromaculata*, (B) *P. basimaculata*, and (C) *P. randalli* from Japan. A: KPM-NR 265009, ca. 80 mm TL, Izu-oshima I., Izu Is., photo by S. Imazeki; B: KPM-NR 265916, ca. 100 mm TL, Okinawa-jima I., Ryukyu Is., photo by N. Kajiura; C: KPM-NI 92009, 106.8 mm SL, Mikura-jima I., Izu Is., photo by H. Wada.

隅角部かけて走るさえた赤もしくは黄の斜帯がある、背鰭棘条部下方から尾柄にかけて5個の赤色の鞍状斑があり (KPM-NR 60891では不明瞭)、各鞍状斑の中央よりやや上方に1対のさえた赤の小斑点が体軸と平行に並ぶ、胸鰭基底後方から臀鰭基底下端にかけて縦方向に走る黄色の不規則な斑列がある、背鰭各軟条間の鰭膜の中央にはうすい黄の円形斑が体背縁に並行にならび、その直下にはさえた黄みの赤の円形斑が並び、この赤色斑のうち比較的大きな7個には黒色素胞が混在す

る (KPM-NR 60891とKPM-NR 150280では不明瞭)、臀鰭の地色がややピンクがかかった白で、遠縁部には幅広い明るい黄の縁取りがある (KPM-NR 60891では臀鰭そのものが確認出来ず)、尾鰭基底上端に大きくなさえた赤の円形斑があり、尾鰭中央部と後部には小さなさえた赤の不定形斑が散在する (KPM-NR 60891では不明瞭)などの色彩的特徴をそなえることから *P. rubromaculata* に同定された。なお、Ho *et al.* (2012)は臀鰭に不規則なピンクの線があることを本種の標徴とし

て挙げているが、これは Ho et al. (2012: fig. 5) が示した生鮮時写真において確認出来ず、台湾産の標本とオーストラリア西岸産の追加標本を用いて本種の標徴を再検討した Johnson & Wilmer (2018) においても有効なものとして扱われていないため、これを同定の根拠に用いなかった。

## 分布

本種は台湾南部 (Ho et al., 2012) とオーストラリア西岸 (Johnson & Wilmer, 2018) から記録されていたが、本研究によって新たに伊豆諸島に属する伊豆大島と御蔵島からも本種が確認された (Fig. 3)。

## 標準和名の検討

*Parapercis rubromaculata* には標準和名がないため、御蔵島産の1標本 (Fig. 1; KPM-NI 92010) に基づき新標準和名アカムトラギスを提唱する。これは本種の特徴の1つである眼背側の眉のような赤色斑に因む。

## 考 察

御蔵島産標本と、Ho et al. (2012) および Johnson & Wilmer (2018) が報告した標本との間には臀鰭棘長、胸鰭長、腹鰭棘長および腹鰭長の体長比において差異が認められたが (Table 1)、その差異はいずれも1%未満と小さく、同程度の差異は概ねトラギス属の他種に種内変異として認められているため (Table 1; Randall, 2003; Randall et al., 2008; Ho et al., 2012, 2014; 日比野ほか, 2013; 松沼ほか, 2017; 松尾ほか, 2018; 深谷ほか, 2024)、本研究ではこれらを種内変異として扱った。

アカムトラギスは、背鰭が5棘20–21軟条で棘のうち第4棘が最長、臀鰭が1棘17軟条、胸鰭軟条数が16–18、側線有孔鱗数が51–54、側線上方横列鱗数が3.5–4.5、口蓋骨に歯を欠く、鋤骨歯が1列に並ぶ、下顎前方に3–4対の犬歯状歯がある、背鰭棘条部と軟条部が鰭膜によって完全に繋がる、吻長が眼径と同程度であること、尾鰭が截形で上葉先端が伸長する、鮮時に体が赤みをおび、背側に5つの鞍状斑がある、頬に眼下縁から前鰓蓋骨隅角部にかけて走る斜帯があるなどの特徴を共有することでセホシトラギス *Parapercis basimaculata* Randall, Senou & Yoshino, 2008 およびホムラトラギス *Parapercis randalli* Ho & Shao, 2010 とよく似るものの、下顎腹側の前方中央に1個の感覚孔がある (セホシトラギスとホムラトラギスは2個)、畳んだ腹鰭の後端が

臀鰭第2軟条基底まで達する (セホシトラギスでは肛門まで達する)、鮮時に眼の上端には黄色斑があり、その後方はさえた赤の斑がある (セホシトラギスでは眼の背側の前・中央部が明るいグレイで後部が灰みの青、ホムラトラギスでは眼の背側が一様に黄色)、後頭部および胸鰭上部の背側面に黒い斑紋がない (セホシトラギスとホムラトラギスは眼後部から胸鰭上部の背側面に黒色斑あるいは点がある)、臀鰭に黒色斑がない (セホシトラギスでは臀鰭軟条部後部に1–3個の小さな黒色斑がある)、尾鰭に多数のさえた赤の斑が散在し、固定後は消失する (セホシトラギスでは3–4個、ホムラトラギスでは0–12個の黒あるいは暗いブラウンの小斑があり、固定後も残る) などの特徴により識別される (Figs. 1, 2, 4; Randall et al., 2008; Ho & Shao, 2010; Ho et al., 2012; 日比野ほか, 2013; Johnson & Wilmer, 2018; 松沼ほか, 2018; 深谷ほか, 2024; 本研究)。なお、Ho et al. (2012) と日比野ほか (2013) はアカムトラギスとホムラトラギスの識別的特徴の一つとして、前者が後者より腹鰭が長いことを挙げているが、その後の追加標本を伴う検討により、前者の腹鰭長は体長の19.8–26.4%、後者は18.0–26.1%であると見直されたため (Table 1; Johnson & Wilmer, 2018; 松沼ほか, 2018; 深谷ほか, 2024)、腹鰭長は両者の識別に有効でないと考えられる。

本研究の記載標本は2025年8月に御蔵島北東沖の水深70–100mの岩礁が混在する砂底域のカケアガリから釣獲された。同所からは同属のホムラトラギス (KPM-NI 92009、体長106.8mm; 御蔵島初記録種) やヤマユリトラギス *Parapercis kentingensis* Ho, Chang & Shao, 2012 (KAUM-I. 220273、体長137.8mm) が得られており、本種がこれらの同属他種と共通する環境に生息することが示唆された。なお、本種の水中写真が撮影された伊豆大島北部も水深は異なるものの、同様の砂底域を含む環境である (有馬啓人氏、私信)。伊豆諸島においてアカムトラギスが記録された際の出現水深帯における水温は15–18℃の範囲にあった (“標本” および “写真資料” を参照)。

## 比較資料

セホシトラギス (写真資料): 琉球列島沖繩諸島沖繩島: KPM-NR 75916、寺田雄祐撮影; KPM-NR 80807、KPM-NR 84973、宮本育昌撮影; KPM-NR 85007、KPM-NR 92157、桑畑貴志撮影; KPM-NR 97631、山田祐介撮影; KPM-NR 265916、KPM-NR 265917、梶浦信勝撮影; 沖繩諸島伊江島: KPM-NR 36612、湯野川恭撮影; 沖繩諸島久米島: KPM-NR 11433、KPM-NR 11434、

坂本有正撮影；琉球列島八重山諸島西表島：KPM-NR 33808、矢野維幾撮影。ホムラトラギス（標本）：KPM-NI 92009、上述のKPM-NI 92010と同所・同時に採集、鮮時の標本写真はKPM-NR 300246として登録（和田英敏撮影）。ヤマユリトラギス（標本）：KAUM-I. 220273、上述のKPM-NI 92010と同所・同時に採集。

### 謝 辞

本研究を取りまとめるにあたり、青木拓哉氏と小笠原樹氏をはじめとする御蔵島観光協会の皆様には調査許可の取得に際し快いご協力をいただいた。沖縄アイランドダイビングサービスの有馬啓人氏には伊豆大島で撮影されたアカムネトラギスの水中写真を提供いただくとともに、その個体が撮影された環境についてご教示いただいた。以下の皆様にはトラギス属魚類の貴重な写真資料の提供をいただいた：今関真二郎氏（伊豆大島あとばダイビングサービス）；石田充彦氏；伊藤明美氏；梶浦信勝氏；桑畑貴志氏（沖縄ダイビングサービス あいる・ぷまんどろ）；宮本育昌氏（コーラル・ネットワーク）；坂本有正氏；寺田雄祐氏；山田祐介氏；矢野維幾氏（ダイブサービス YANO）；湯野川恭氏（伊江島ダイビングサービス）。鹿児島大学総合研究博物館の本村浩之教授および同研究室の皆様には標本の登録にご協力をいただいた。千葉県漁業資源課の黒田悠真氏には文献調査にご協力いただいた。神奈川県立博物館研究報告（自然科学）の編集委員の皆様と匿名の査読者には本稿の改訂あたって適切な助言をいただいた。以上の皆様に厚くお礼申し上げます。本研究はJSPS 科研費（24K16204）の助成を受けた。

### 引用文献

- Allen, G. R. & M. V. Erdmann, 2017. A new species of *Parapercis* (Teleostei: Pinguipedidae) from the Solomon Islands. *Journal of the Ocean Science Foundation*, 27: 8–19.
- Fricke, R., W. N. Eschmeyer & R. Van der Laan (eds.), 2025. Eschmeyer's catalog of fishes: genera, species, references. Electronic version. California Academy of Science. Online: <http://researcharchive.calacademy.org/research/ichthyology/catalog/fishcatmain.asp> (accessed on 2025-10-21).
- 深谷真央・松尾 怜・和田英敏, 2024. トラギス科ホムラトラギスの紀伊半島と石垣島からの分布記録 および標徴に関する新発見. *Ichthy, Natural History of Fishes of Japan*, 48: 22–27.
- 日比野友亮・本村浩之・木村清志, 2013. 鹿児島県与論島から得られた日本初記録のホムラトラギス（新称）*Parapercis randalli*. *魚類学雑誌*, 60(2): 129–134.
- Ho, H.-C., C.-H. Chang, & K.-T. Shao, 2012. Two new sandperches (Perciformes: Pinguipedidae: *Parapercis*) from South China Sea, based on morphology and DNA barcoding. *The Raffles Bulletin of Zoology*, 60: 163–172.
- Ho, H.-C., P. C. Heemstra, & H. Imamura, 2014. A new species of the sandperch genus *Parapercis* from the western Indian Ocean (Perciformes: Pinguipedidae). *Zootaxa*, 3802(3): 335–345.
- Ho, H.-C. & K.-T. Shao, 2010. *Parapercis randalli*, a new sandperch (Pisces: Pinguipedidae) from Southern Taiwan. *Zootaxa*, 2690: 59–67.
- Johnson, W. J. & W. J. Wilmer, 2018. Three new species of *Parapercis* (Perciformes: Pinguipedidae) and first records of *P. muronis* (Tanaka, 1918) and *P. rubromaculata* Ho, Chang & Shao, 2012 from Australia. *Zootaxa*, 4388(2): 151–181.
- 気象庁, 2025. 海洋の健康診断表, 旬平均海面水温. 気象庁. Online: [https://www.data.jma.go.jp/kaiyou/data/db/kaikyō/jun/sst\\_HQ.html](https://www.data.jma.go.jp/kaiyou/data/db/kaikyō/jun/sst_HQ.html) (accessed on 2025-10-26).
- 栗山顕太・本村浩之, 2025. 奄美大島沖の深海から得られた日本初記録のトラギス属魚類 *Parapercis moki* ハネズトラギス（新称）. *魚類学雑誌*, 72(2): 179–184.
- 松沼瑞樹・山田守彦・本村浩之, 2017. 鹿児島県内之浦湾から得られたトラギス科ホムラトラギス *Parapercis randalli* の分布北限記録および成長にともなう形態変化. *日本生物地理学会会報*, 71: 15–24.
- 松尾 怜・松沼瑞樹・本村浩之・木村清志, 2018. トラギス科魚類ヤマユリトラギス（新称）*Parapercis kentingensis* の日本における記録. *魚類学雑誌*, 65(1): 27–34.
- 本村浩之, 2009. 魚類標本の作製と管理マニュアル. 70 pp. 鹿児島大学総合研究博物館, 鹿児島.
- 本村浩之, 2025. 日本産魚類全種目録. これまでに記録された日本産魚類全種の現在の標準和名と学名. Online ver. 33. Online: <https://www.museum.kagoshima-u.ac.jp/staff/motomura/jaf.html> (accessed on 2025-10-28).
- Randall, J. E., 2001. Family Pinguipedidae (= Parapercidae, Mugiloididae). In Carpenter, K. E. & V. H. Niem (eds.), *FAO Species identification guide for fishery purposes. The living marine resources of the western central Pacific. Vol. 6. Bony fishes part 4 (Labridae to Latimeriidae), estuarine crocodiles, sea turtles, sea snakes and marine mammals*. pp. 3501–3510. Food and Agriculture Organization of the United Nations, Rome.
- Randall, J. E., 2003. Review of the sandperches of the *Parapercis cylindrica* complex (Perciformes: Pinguipedidae), with description of two new species from the western Pacific. *Bishop Museum Occasional Papers*, 72: 1–19.
- Randall, J. E., H. Senou & T. Yoshino, 2008. Three new pinguipedid fishes of the genus *Parapercis* from Japan. *Bulletin of the National Museum of Nature and Science (Ser. A) Supplement*, 2: 69–84.

Sabaj, M. H., 2020. Codes for natural history collections in ichthyology and herpetology. *Copeia*, 108: 593–669.

島田和彦, 2013. トラギス科. 中坊徹次編, 日本産魚類検索 全種の同定: 第3版, pp. 1258–1264, 2088–2091. 東海大学出版会, 秦野.

和田英敏・棟方航平・手良村知功・前田達郎・松山侑樹・西川士朗・本村浩之, 2025. 御蔵島産魚類目録. *Mikurensis - みくらしまの科学* -, 14: 5–54.

財団法人日本色彩研究所監修, 1993. 改訂版色名小事典, 改訂第12刷. 90 pp. 日本色研事業株式会社, 東京.

## 摘 要

和田英敏・棟方航平・西川士朗, 2026. 伊豆諸島御蔵島と伊豆大島から確認された日本初記録のアカマユトラギス (新称) *Parapercis rubromaculata* (ワニギス亜目トラギス科). 神奈川県立博物館研究報告 (自然科学), (55): 49–58. [Wada, H., M. Munakata & S. Nishikawa, 2026. First Japanese Records of *Parapercis rubromaculata* (Trachinoidei: Pinguipedidae) from Mikura-jima and Izu-oshima islands, Izu Islands, Japan. *Bull. Kanagawa Pref. Mus. (Nat. Sci.)*, (55): 49–58.]

伊豆諸島御蔵島における魚類相調査の過程で、同島北東沖の水深 70–100 m のカケアガリから 1 個体のトラギス属魚類 (ワニギス亜目トラギス科) が釣獲された。この個体は以下の特徴を併せもつことで *Parapercis rubromaculata* Ho, Chang & Shao, 2012 に同定された: 背鰭が 5 棘 21 軟条で棘のうち第 4 棘が最長、臀鰭が 1 棘 17 軟条、胸鰭が 17 軟条、側線有孔鱗数が 53、鰓耙数が 5 + 10 (合計 15)、下顎歯前部の外列に 3 対の犬歯がある、鋤骨に 7 本の円錐歯が一行に並ぶ、口蓋骨に歯がない、脊椎骨数が 10 + 20、背鰭前方鱗が円鱗で、その前端が前鰓蓋骨後縁の直上に達する、背鰭前方鱗数が 8、頬部は円鱗で覆われ、その前端は瞳孔前縁のほぼ直下に達する、下鰓蓋骨の後縁が円滑、豊んだ腹鰭後端が臀鰭第 2 軟条基底に達する、背鰭棘条部下方から尾柄にかけて 5 個の赤色の鞍状斑があり、各鞍状斑の中央よりやや上方に 1 対のさえた赤の小斑点が体軸と平行に並ぶ、胸鰭基底後方から尾鰭基底後端にかけて縦方向に走る黄色の不規則な斑列がある、背鰭各軟条部の下部にはさえた黄みの赤の円形斑が並び、この赤色斑のうち比較的大きな 7 個には黒色素胞が混在する (残る 11 個においては不明瞭)、尾鰭基底上端に大きくなさえた赤の円形斑があり、尾鰭中央部と後部には小さなさえた赤の不定形斑が散在する。また伊豆諸島伊豆大島から得られた水中写真を調査した結果、同島から 4 個体の *P. rubromaculata* が撮影されていたことがわかった。本種はこれまでに台湾とオーストラリア西岸からのみ記録されていたため、伊豆諸島から得られた標本と水中写真は本種の北限記録かつ日本初記録となる。また本研究では御蔵島から得られた 1 標本に基づき、本種に対して新標準和名アカマユトラギスを提唱した。